

## 信号画像処理特論 I

担当： 工藤博幸

### 講義を始めるにあたって

1. 『画像・音声の符号化(圧縮)』を取り扱う。  
画像符号化とは、予測符号化, 変換符号化, その他の符号化法
2. 教科書は使用しない。スライド, 板書, プリントを中心とする。  
(講義の内容と合致した参考書を紹介)
3. 毎回後半に重要な項目を文章に要約したりクイズに答えたりする『小テスト』を行い出席点とする。
4. 成績評価は『レポートまたは筆記試験(70%)』+『出席点(30%)』により行う。

5. 勉強の目安としては, 標準的手法である音声符号化のDPCMや画像符号化のJPEGをきちんと理解する。

### スライドコピーの入手先

以下のURLから各自ダウンロードして2回目以降の講義に持参してください。

<http://www.cs.tsukuba.ac.jp/~kudo/japanese.html>

(認証のユーザIDとパスワードは授業中に教えます)

### 講義の内容と合った参考書

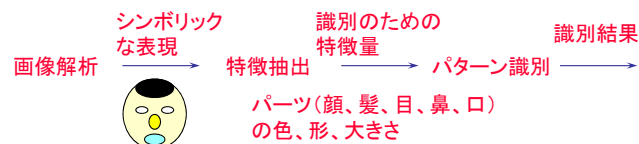
- (1) 吉田俊之, 鈴木輝彦, 広沢敏彦, 『画像情報符号化』, コロナ社, 2008年
- (2) 原島博, 『画像情報圧縮』, オーム社, 1991年
- (3) 酒井善則, 吉田俊之, 『映像情報符号化』, オーム社, 2001年
- (4) J.W.Woods, Multidimensional signal, image, and video processing and coding, Academic Press, 2006
- (5) R.J.Clarke, Digital compression of still images and video, Academic Press, 1995
- (6) J.S.Lim, Two-dimensional signal and image processing, Prentice Hall, 1990

(前おき)  
画像処理にはどんな分野があるか

## 画像の認識・理解

画像に写っているものをコンピュータに認識させる技術  
(文字認識、ロボットの環境認識、個人照合、医用画像認識)

画像認識の手順



画像解析(顔画像から構造物を抽出)



学習データ

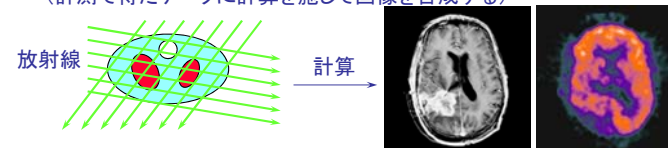


抽出結果(400枚中384枚成功)

## 医用イメージングと計算機支援医療

コンピュータの利用による医療の変化

- ・計算イメージング(CT、MRI、超音波)の出現(1973年)  
(計測で得たデータに計算を施して画像を合成する)



- ・コンピュータによる医用メディア処理技術の発展(1990年代)

	診断に利用されるメディア	診断・治療の方法
CTの発明以前	レントゲン写真、心電図、脳波	医師
CTの発明以降	上記+X線CT、MRI(磁気共鳴イメージング)、エミッションCT、超音波	
将来		計算機支援 完全自動化

## メディア符号化

音声・画像通信のモデル



メディア符号化の目的

- (1) 通信路の効率的使用のためデータを圧縮する
- (2) 信頼性向上のため通信路の誤りが訂正が可能な形式にする

JPEG  
1/200



JPEG  
1/150



JPEG  
1/100



## 劣化画像の品質改善

画像の劣化要因を取り除き人間に見やすい画像に改善

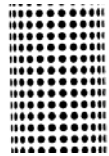
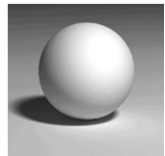


劣化モデル  $\vec{g} = A\vec{f} + \vec{n}$  に基づき  $\vec{g}$  から  $\vec{f}$  を推定  
( $\vec{f}$ : 原画像、 $\vec{g}$ : 劣化画像、 $A$ : 劣化を表す演算子、 $\vec{n}$ : 雑音)



## コンピュータ・ビジョン(CV)

2次元画像から3次元空間(奥行き情報)を知覚する機能の実現



陰影からの形状復元 模様からの形状復元

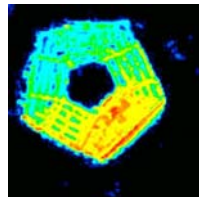
左眼画像 右眼画像  
ステレオ視

飛行機から撮影



建物の高さ(飛行機からの距離)

計算



## コンピュータ・グラフィックス(CG)

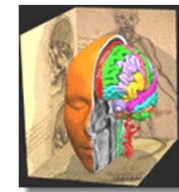
画像の生成過程をコンピュータでシミュレーションして画像合成



コンピュータ  
(1)対象物をデータとして表現  
(2)光の伝搬のシミュレーション

代表的な画像の作り方

- ・レイトレーシング(対象物が球、直方体などの幾何学的形状の組み合わせ)
- ・ポリウムレンダリング(対象物がボクセルデータとして表現)



## 第1章:画像の符号化

### 1. 画像符号化とは

#### 1.1 画像符号化の目的

画像をできるだけ少ないビット数で表現する

応用分野

(1)画像伝送(テレビ信号の帯域圧縮・インターネット)

- ・現在の放送用テレビの帯域幅  
輝度信号(Y) 4.2MHz 色差信号(I, Q) 1.5MHz, 0.5MHz  
-> 2倍の周波数でサンプリングして8bitで量子化すると  
情報量  $(4.2+1.5+0.5) \times 2 \times 8 = 99.2(\text{Mbit/s})$

- ・ハイビジョン 1.2(Gbit/s)
- ・音声 64(Kbit/s)のデジタル伝送実用化

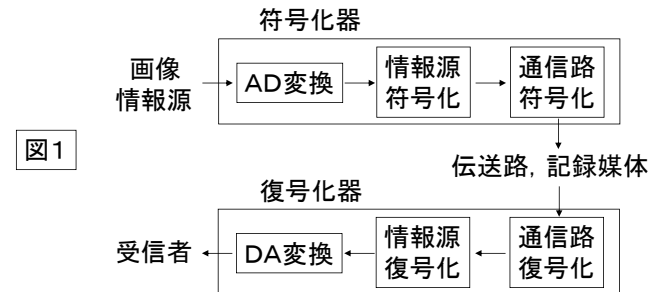
(2)画像の記録

ハードディスク, CD-ROM

情報圧縮が必要

$$\begin{pmatrix} Y \\ I \\ Q \end{pmatrix} = \begin{pmatrix} 0.3 & 0.59 & 0.11 \\ 0.6 & -0.28 & -0.32 \\ 0.21 & -0.52 & -0.31 \end{pmatrix} \begin{pmatrix} R \\ G \\ B \end{pmatrix}$$

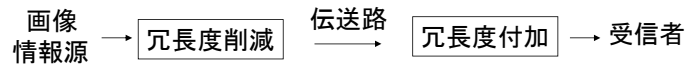
### 画像符号化器の構成



情報源符号化(Source coding) -> データの圧縮を目的とした符号化  
通信路符号化(Channel coding) -> 伝送路, 記録媒体の信頼性向上を目的とした符号化  
(誤り訂正符号など)

## 1.2 画像の統計的性質

画像符号化 → 画像の冗長性を削減することで圧縮を行う



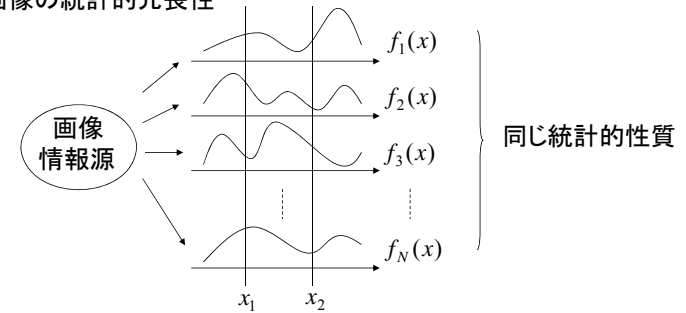
画像に含まれる冗長性

1. 統計的冗長度 (空間的冗長度, 時間的冗長度)  
→ 画像を確率信号と考えたときの冗長度
2. 構造的冗長度 → 画像を領域の集合とみたときの構造的冗長度
3. 知識的冗長度 → 送受信端で共有している知識に関する冗長度
4. エントロピー的冗長度 → 符号の出現確率の偏り
5. 視覚的冗長度 → 人間の歪知覚特性に起因する冗長度

図2

ほとんどの画像符号化法は統計的冗長度の削減を利用している

## 画像の統計的冗長性



情報源の性質を特徴づける量 → 共分散関数

$$\phi(x_1, x_2) = E[f(x_1)f(x_2)] \quad (= \lim_{N \rightarrow \infty} \frac{1}{N} \sum_{i=1}^N f_i(x_1)f_i(x_2)) \quad \text{式(1)}$$

↑  
期待値

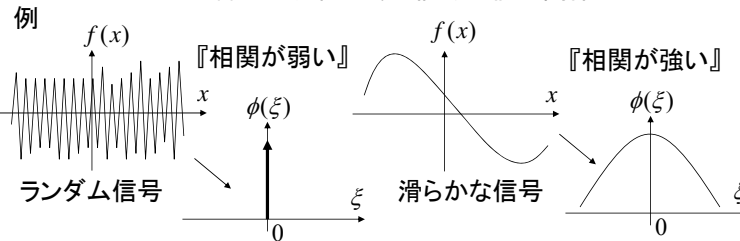
・定常性 →  $\phi(x_1, x_2)$  が  $x_1 - x_2$  だけの関数

$$\phi(\xi) = E[f(x)f(x+\xi)] \quad \text{time lag} \quad \text{式(2)}$$

・エルゴード性 → 期待値を空間平均で置きかえてよい

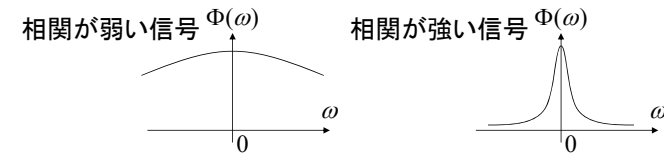
$$\phi(\xi) = \lim_{L \rightarrow \infty} \frac{1}{2L} \int_{-L}^L f(x)f(x+\xi)dx \quad \text{式(3)}$$

$\phi(\xi)$  を自己相関関数と呼ぶ  
→  $\xi$  だけ離れた位置にある信号の値の関係



パワースペクトル密度 → 自己相関関数のフーリエ変換

$$\Phi(\omega) = \int_{-\infty}^{\infty} \phi(\xi)e^{-j\omega\xi} d\xi \quad \text{式(4)}$$



画像信号の統計的冗長性 → 自己相関関数やパワースペクトル密度で表現

(相関が強い = 冗長, 相関が弱い = 冗長でない)

2次元への拡張

$$\phi(\xi, \eta) = \lim_{L_x \rightarrow \infty} \lim_{L_y \rightarrow \infty} \frac{1}{4L_x L_y} \int_{-L_y}^{L_y} \int_{-L_x}^{L_x} f(x, y)f(x+\xi, y+\eta) dx dy \quad \text{式(5)}$$

$$\Phi(u, v) = \int_{-\infty}^{\infty} \int_{-\infty}^{\infty} \phi(\xi, \eta)e^{-j(u\xi+v\eta)} d\xi d\eta$$

実際の画像で計算したもの -> 図3

画像はきわめて冗長な(相関が強い)信号である

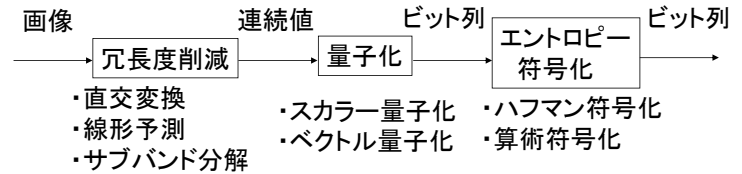
$$\rho_H = \frac{\phi(1,0)}{\phi(0,0)} > 0.9 \quad \rho_V = \frac{\phi(0,1)}{\phi(0,0)} > 0.9 \quad \text{式(6)}$$

水平方向相関係数    垂直方向相関係数

『冗長な』=『相関が強い』=『滑らかな』  
=『ある画素から隣りの画素が予測できる』

### 1.3 画像符号化の考え方

画像符号化法の一般的構成



冗長度削減 -> 相関の強い信号を相関の弱い信号に変換  
 量子化 -> 連続値をとる信号を離散値をとる信号(ビット列)に変換  
 エントロピー符号化 -> 0と1の発生頻度の偏りを利用して情報削減

3要素の組み合わせにより様々な符号化法

#### 例 (1)PCM(パルス符号変調)

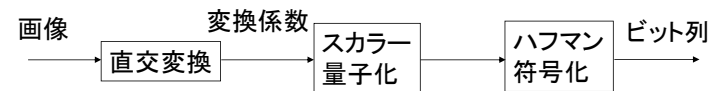


- ・アナログをデジタルに変換するのが目的
- ・冗長度削減モジュールない -> 情報圧縮は期待できない

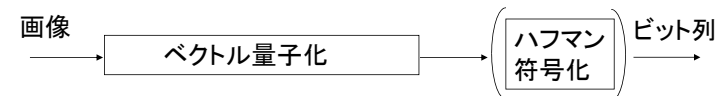
#### (2)DPCM(差分パルス符号変調) 音声64(Kbit/s)符号化



#### (3)変換符号化 JPEG 1970~1980年代



#### (4)ベクトル量子化 1980年以降



ベクトル量子化は冗長度削減+量子化の効果がある

#### (5)GIF(Graphics Interchange Format)

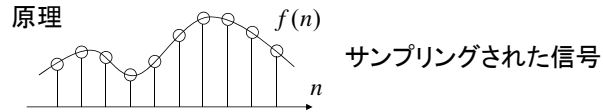


量子化誤差以外の歪みがないが、冗長度削減モジュールがないため情報圧縮はあまり期待できない

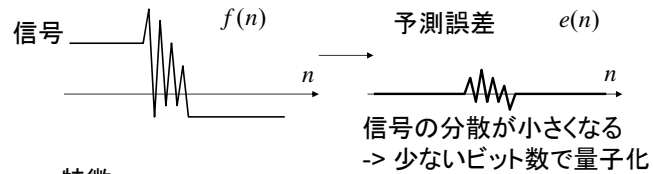
符号化法は冗長度削減の方法で分類

- 予測符号化
- 変換符号化
- ベクトル量子化
- サブバンド符号化

## 第2章: 予測符号化 (Predictive coding)



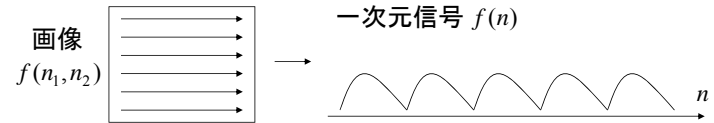
これまで送った信号の値  $f(0), f(1), \dots, f(n-1)$  から次の信号の値  $f(n)$  を予測し予測誤差  $e(n) = f(n) - \hat{f}(n)$  だけを伝送する  
 → 冗長度の削減



1. 変換符号化と比較して構成が簡単
2. 性能は変換符号化と比較して悪い

### 2.1 デルタ変調 (DM)

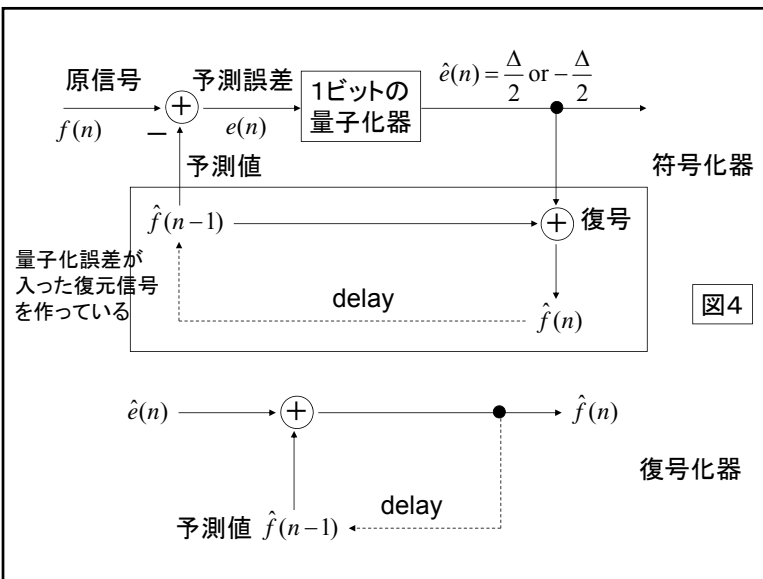
画像  $f(n_1, n_2)$  をラスタ走査で1次元信号  $f(n)$  に変換し隣りの信号の値との差を1ビットで量子化する



符号化器と復号化器の構成

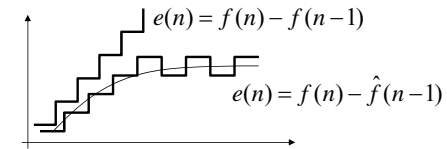
次ページ

$$\begin{cases}
 e(n) = f(n) - \hat{f}(n-1) & \text{予測誤差} \\
 \hat{e}(n) = \begin{cases} \Delta/2 & (e(n) > 0 \text{ のとき}) \\ -\Delta/2 & (\text{その他}) \end{cases} & \text{量子化} \rightarrow \text{1つ前の値から増えたか減ったかを伝送} \\
 \hat{f}(n) = \hat{f}(n-1) + \hat{e}(n) & \text{復号}
 \end{cases}
 \quad \text{式(7)}$$



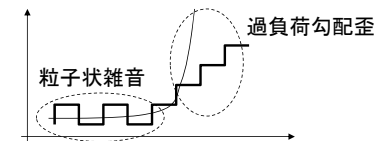
注意

1. 予測誤差の求め方  $e(n) = f(n) - \hat{f}(n-1)$   
 $e(n) = f(n) - f(n-1)$  とすると量子化誤差が蓄積する (復号化器で  $\hat{f}(n) = \hat{f}(n-1) + \hat{e}(n)$  とするため)



2. ステップサイズ  $\Delta$  を適切に選ぶ必要

$\Delta$  が大きすぎる → 粒子状雑音 (平坦部での雑音)  
 $\Delta$  が小さすぎる → 過負荷勾配歪 (信号の変化に追従できない)

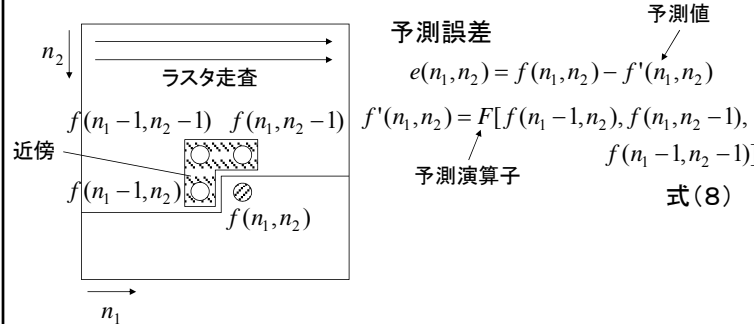


実験例  
 → 図5

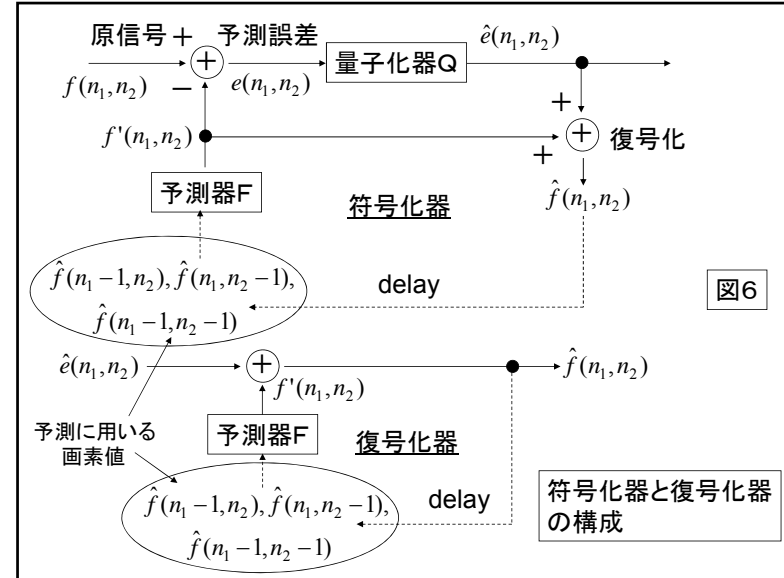
## 2. 2 差分パルス符号変調(DPCM)

### デルタ変調の一般化

1. 次の画像の値  $f(n_1, n_2)$  の予測を複数の画素値で行う



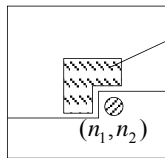
2. 予測誤差  $e(n_1, n_2)$  を複数ビットで量子化



$$\begin{cases} f'(n_1, n_2) = F[\hat{f}(n_1 - 1, n_2), \hat{f}(n_1, n_2 - 1), \hat{f}(n_1 - 1, n_2 - 1)] & \text{予測} \\ e(n_1, n_2) = f(n_1, n_2) - f'(n_1, n_2) & \text{予測誤差} \\ \hat{e}(n_1, n_2) = Q[e(n_1, n_2)] & \text{量子化} \\ \hat{f}(n_1, n_2) = f'(n_1, n_2) + \hat{e}(n_1, n_2) & \text{復号化} \end{cases} \quad \text{式(9)}$$

予測の方法 -> 線形予測

$$f'(n_1, n_2) = \sum_{(k_1, k_2) \in R_a} a(k_1, k_2) \hat{f}(n_1 - k_1, n_2 - k_2) \quad \text{式(10)}$$



$a(k_1, k_2)$  予測係数

予測係数は予測誤差の2乗期待値が最小となるように求める

$$E[e^2(n_1, n_2)] = E[(f(n_1, n_2) - \sum_{(k_1, k_2) \in R_a} a(k_1, k_2) \hat{f}(n_1 - k_1, n_2 - k_2))^2] \rightarrow \min \quad \text{式(11)}$$

$\hat{f}(n_1, n_2) \approx f(n_1, n_2)$  で近似すると

$$E[(f(n_1, n_2) - \sum_{(k_1, k_2) \in R_a} a(k_1, k_2) f(n_1 - k_1, n_2 - k_2))^2] \rightarrow \min \quad \text{式(12)}$$

$a(k_1, k_2)$  について微分して零とおく

自己相関関数  $\phi(\xi, \eta) = \sum_{(k_1, k_2) \in R_a} a(k_1, k_2) \phi(\xi - k_1, \eta - k_2)$

$$\begin{bmatrix} \phi(0,0) & \phi(1,1) & \phi(0,1) \\ \phi(1,1) & \phi(0,0) & \phi(1,0) \\ \phi(0,1) & \phi(1,0) & \phi(0,0) \end{bmatrix} \begin{bmatrix} a(1,0) \\ a(0,1) \\ a(1,1) \end{bmatrix} = \begin{bmatrix} \phi(1,0) \\ \phi(0,1) \\ \phi(1,1) \end{bmatrix} \quad \text{Yule-Walkerの方程式}$$

ブロックToeplitz行列

式(13)

実験例 -> 図7

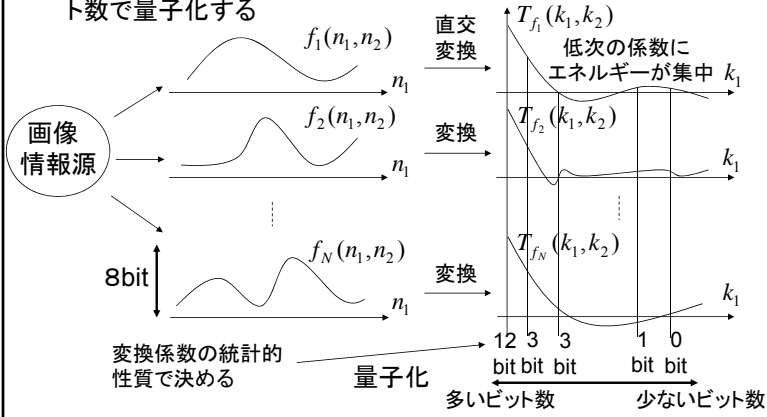
ADPCM(適応DPCM)

予測係数を画像全体で同じにするのではなく、場所に依存させることで性能改善

### 第3章: 変換符号化 (Transform coding)

原理

相関の強い信号を直交変換すると低次の係数にエネルギーが集中するので、各変換係数とその統計的性質に応じたビット数で量子化する



ビット割り当て

復元画像の歪(2乗誤差)  $D$  を認めたとき、最も低いビット率  $R$  とそれを実現する各係数へのビット配分  $N_B(k_1, k_2)$

仮定

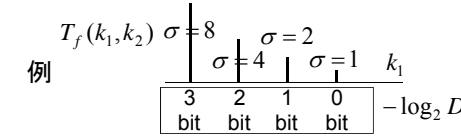
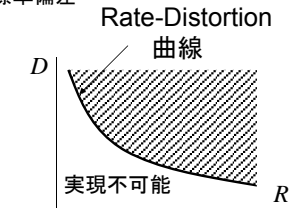
$T_f(k_1, k_2)$  は独立なガウス分布(変換により相関除去)

$$P_{k_1, k_2}(x) = \frac{1}{\sqrt{2\pi}\sigma(k_1, k_2)} e^{-\frac{x^2}{2\sigma^2(k_1, k_2)}}$$

標準偏差

解 -> Shannon

$$\begin{cases} N_B(k_1, k_2) = \frac{1}{2} \log_2 \sigma^2(k_1, k_2) - \log_2 D \\ R = \sum_{k_1} \sum_{k_2} N_B(k_1, k_2) \text{ ビット率} \end{cases}$$



符号化に必要なビット数の下限

特徴

1. 予測符号化より性能が良い
2. 予測符号化より計算量が多い -> 直交変換のため
3. 現在主流となっている

#### 3.1 変換符号化の構成

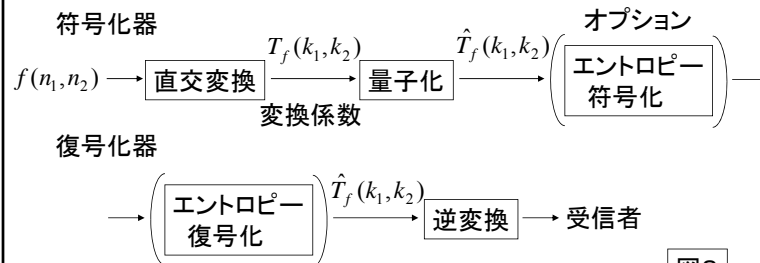
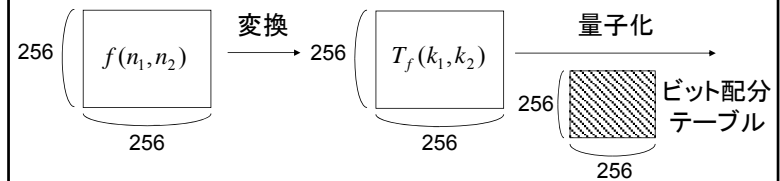


図8

全フレーム符号化とブロック符号化

(1) 全フレーム符号化

原画像全体で直交変換を行う



各変換係数  $T_f(k_1, k_2)$  へのビット割り当ては、様々な画像の変換係数の統計的性質から求めておく -> ビット配分テーブル

特徴

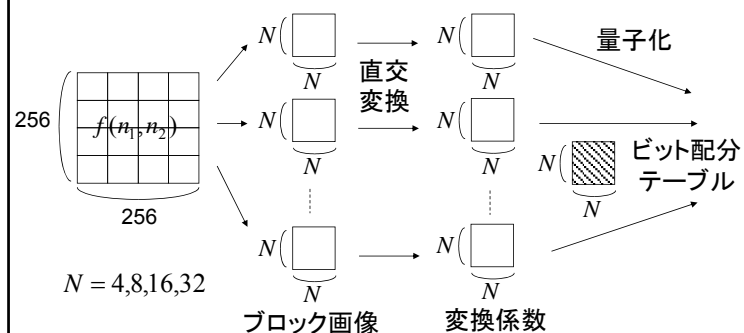
1. 原理的にはブロック符号化より高性能 -> 冗長性除去効果高い
  2. 計算量が多い
  3. ブロック歪みが生じない
- 医用画像で用いられている

※ブロック歪みの例



(2)ブロック符号化

原画像をブロック分割しブロック単位で直交変換

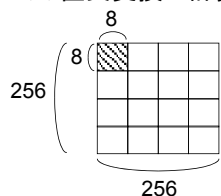


ビット配分テーブルは複数ブロックの変換係数の統計的性質から決める

特徴

1. 計算量が少なく実時間処理向き
2. ブロック歪みが生じる

※ 直交変換の計算量の違い



一回の直交変換の計算量  $N^2 \log_2 N + \text{低次}$

全体  $256^2 \log_2 256 = 524,288$

ブロック  $32^2 \times 8^2 \times \log_2 8 = 196,608$

FFTなどの高速計算法を用いた場合

3. 2 様々な直交変換

変換符号化に適した直交変換

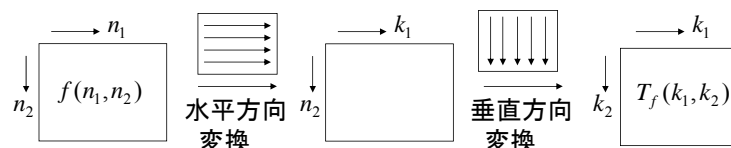
1. エネルギー集中度(冗長性除去効果)が高い
2. 高速な計算法が存在する

水平方向と垂直方向に分離可能な直交変換の一般形

$$\begin{cases} \text{順} & T_f(k_1, k_2) = \sum_{n_1=0}^{N_1-1} \sum_{n_2=0}^{N_2-1} f(n_1, n_2) a_R(n_1; k_1) a_C(n_2; k_2) \\ \text{逆} & f(n_1, n_2) = \sum_{k_1=0}^{N_1-1} \sum_{k_2=0}^{N_2-1} T_f(k_1, k_2) b_R(n_1; k_1) b_C(n_2; k_2) \end{cases} \quad \text{基底} \quad \text{式(14)}$$

(一般には基底は  $a(n_1; n_2; k_1; k_2)$  以上簡単にならない)

1次元変換のくり返しで計算可能



1次元変換のみを考えて十分

(1) アダマール変換

変換の行列表現

$$N \begin{bmatrix} T_f(k) \end{bmatrix} = N \begin{bmatrix} H_N \end{bmatrix} \begin{bmatrix} f(n) \end{bmatrix} \quad N = 2^l \quad \text{図9}$$

$$H_2 = \frac{1}{\sqrt{2}} \begin{bmatrix} 1 & 1 \\ 1 & -1 \end{bmatrix} \quad H_{2n} = \frac{1}{\sqrt{2}} \begin{bmatrix} H_n & H_n \\ H_n & -H_n \end{bmatrix} \quad (n=2,4,8,\dots) \quad \text{式(15)}$$

特徴

1. 加減算のみで実現
2. エネルギー集中度率はあまり良くない

(2) 離散フーリエ変換(DFT)

$$\text{複素数} \rightarrow T_f(k) = \sum_{n=0}^{N-1} f(n) e^{-j \frac{2\pi kn}{N}} \quad \frac{2\pi k}{N} \rightarrow \omega \quad \text{式(16)}$$

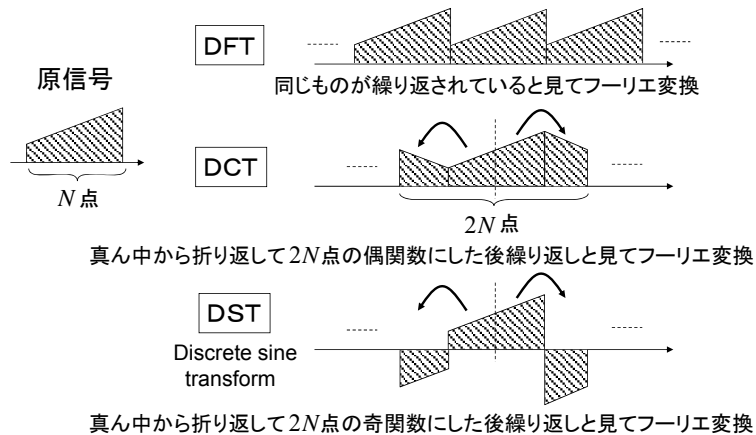
(3) 離散コサイン変換(DCT)

$$\begin{cases} \text{順} & T_f(k) = \alpha(k) \sum_{n=0}^{N-1} f(n) \cos\left(\frac{\pi(2n+1)k}{2N}\right) & \text{式(17)} \\ \text{実数} & \alpha(0) = \sqrt{\frac{1}{N}}, \alpha(k) = \sqrt{\frac{2}{N}} \quad (1 \leq k \leq N-1) & \text{図10} \\ \text{逆} & f(n) = \sum_{k=0}^{N-1} \alpha(k) T_f(k) \cos\left(\frac{\pi(2n+1)k}{2N}\right) & \text{式(18)} \end{cases}$$

エネルギー集中度率が高い -> 多くの変換符号化で採用

※ 正弦波の基底関数を持つ直交変換が多数存在してエネルギー集中度率が違う理由

有限長の信号は外側をどうみるかに様々な解釈がある



くり返し波形の不連続性が一番小さいDCTが高周波成分が最小 -> エネルギー集中度率が最も良い

エネルギー集中度率 DCT > DFT > DST

このことが書いてある歴史的な論文

A.K.Jain, "A sinusoidal family of unitary transforms," IEEE Transactions on Pattern Analysis and Machine Intelligence, Vol.1, pp.356-365, 1979

(4)KL(Karhunen-Loève)変換

信号の相関を完全に取り除く変換

導出

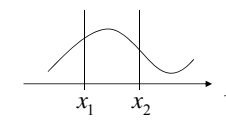


$$N \begin{pmatrix} T_f(k) \\ \vdots \\ T_f(k) \end{pmatrix} = N \begin{pmatrix} A \\ \vdots \\ A \end{pmatrix} \begin{pmatrix} f(n) \\ \vdots \\ f(n) \end{pmatrix} \quad \vec{t} = A\vec{f}$$

信号  $\vec{f}$  の共分散行列  $\phi_f = E[\vec{f}\vec{f}^T] = N \begin{pmatrix} E[f_i f_j] \\ \vdots \\ E[f_i f_j] \end{pmatrix}$  式(19)

※共分散関数

$$\phi(x_1, x_2) = E[f(x_1)f(x_2)]$$



$\vec{f}$  の相関が強い ->  $\phi_f$  の対角以外の要素が大きい  
 $\vec{f}$  の相関が弱い ->  $\phi_f$  は対角行列に近い

変換係数  $\vec{t}$  の共分散行列

$$\phi_t = E[\vec{t}\vec{t}^T] = E[A\vec{f}\vec{f}^T A^T] = A\phi_f A^T \quad \text{式(20)}$$

信号の相関を完全に除去するには  $\phi_f$  が対角行列となるように  $A$  を決めればよい

解  $A$  が  $\phi_f$  を対角化するユニタリ行列であれば良い(線形代数)

$$A = \begin{pmatrix} \vec{e}_1^T \\ \vec{e}_2^T \\ \vdots \\ \vec{e}_N^T \end{pmatrix} \quad \phi_f \vec{e}_k = \lambda_k \vec{e}_k \quad (k=1,2,\dots,N) \quad \text{固有値問題}$$

$$\lambda_1 \geq \lambda_2 \geq \dots \geq \lambda_N$$

このとき

$$\phi_t = \begin{pmatrix} \lambda_1 & & & \\ & \lambda_2 & & 0 \\ & & \ddots & \\ 0 & & & \lambda_N \end{pmatrix} \quad \text{変換係数は無相関} \quad \text{式(21)}$$

KL変換の基底を用いた信号の展開

$$\vec{f} = \sum_{k=1}^N (\vec{f}, \vec{e}_k) \vec{e}_k = A^T (A\vec{f}) \rightarrow \text{KL展開} \quad \text{式(22)}$$

$$T_f(k)$$

KL変換の性質

1. 信号の相関を完全に取り除く
2. 低次の変換係数へのエネルギー集中率が最良

※エネルギー集中率の調べ方

$$\hat{f} \approx \sum_{k=1}^M (\vec{f}, \vec{e}_k) \vec{e}_k \quad (M < N) \quad \text{と展開を少数項で打ち切る}$$

このとき  $E[\|\vec{f} - \hat{f}\|^2]$  が小さいほどエネルギー集中率が高い

$$E[\|\vec{f} - \hat{f}_{KL}\|^2] \leq E[\|\vec{f} - \hat{f}_{\text{other}}\|^2] \quad \text{式(23)}$$

KL変換                  その他の変換

種々の変換のエネルギー集中率の比較 -> 図11 図12

KL変換の問題点

1. 高速な計算法がない
2. エネルギー集中率もDCTとあまり変わらない → ほとんど使われていない
3. 基底が情報源の性質に依存する



実験例 -> 図14

(2)シーン適応符号化 (Chen and Pratt, 1984)

JPEGにかなり近い

ブロック符号化 { 変換 -> DCT  
しきい値処理+ジグザグ走査  
ハフマン符号化

← キーポイント

手順

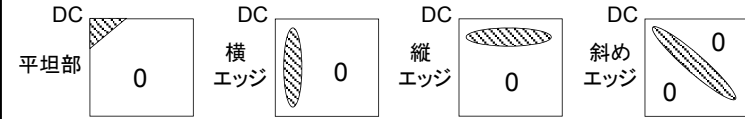
- (1) ブロック分割
- (2) DCT
- (3) しきい値処理 -> 小さな変換係数を零にする

$$T_f(k_1, k_2) = \begin{cases} T_f(k_1, k_2) & (|T_f(k_1, k_2)| \geq T) \\ 0 & (|T_f(k_1, k_2)| < T) \end{cases}$$

← しきい値

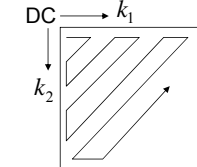
信号のアクティビティが低い所を適応的に捨てる

非零変換係数の分布



- (4) 非零変換係数を量子化
- (5) ジグザグ走査で1次元列に変換

零の続きはラン長で記憶 -> 大幅な圧縮



零がたくさん続くように

(6) ハフマン符号化

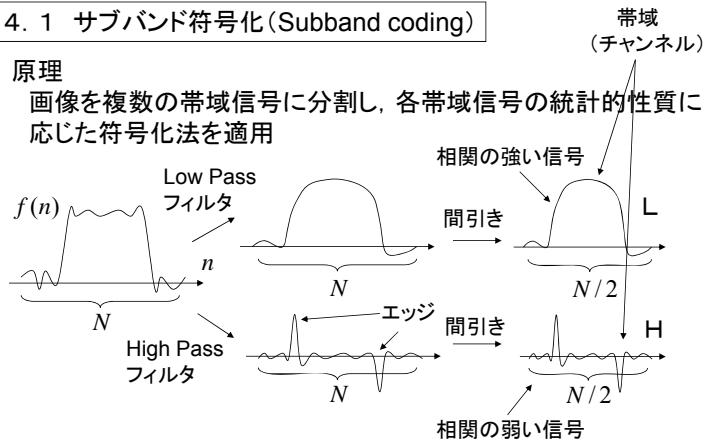
実験例 -> 図15

## 第4章: その他の符号化法

### 4.1 サブバンド符号化 (Subband coding)

原理

画像を複数の帯域信号に分割し、各帯域信号の統計的性質に応じた符号化法を適用



相関の強い信号のデータ数半減 = 冗長度削減



例 Low Pass -> DPCM  
High Pass -> PCM

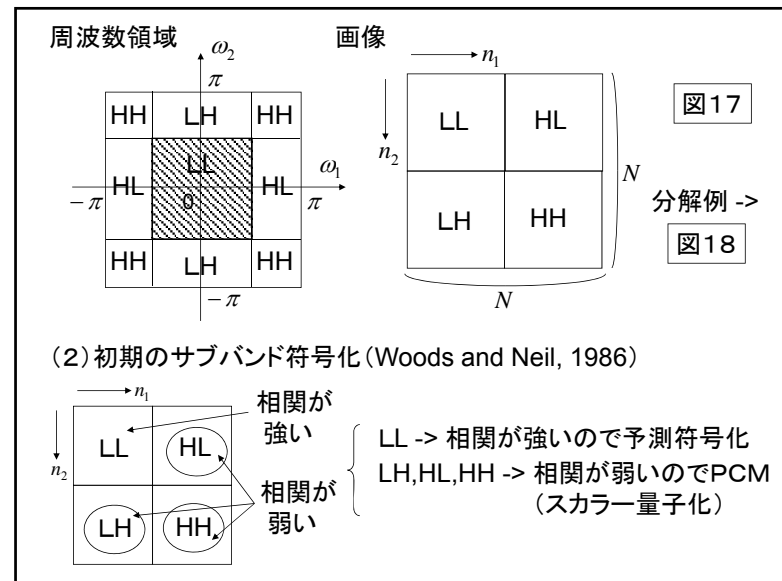
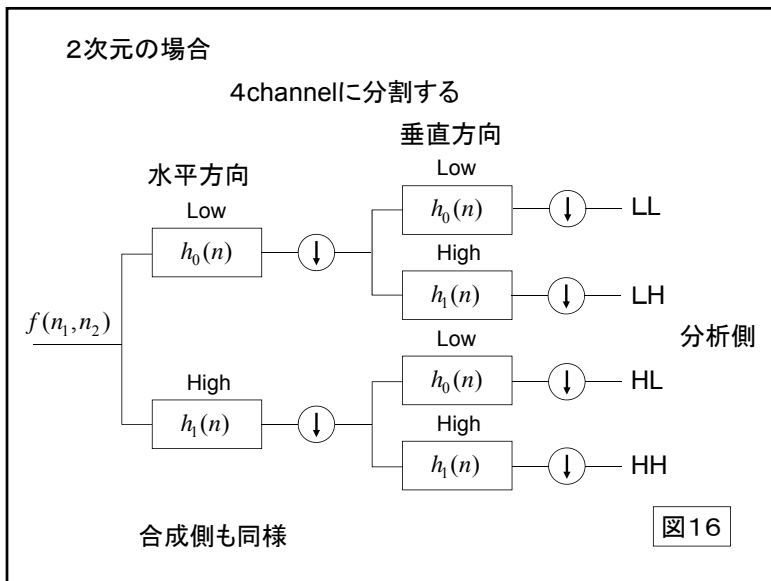
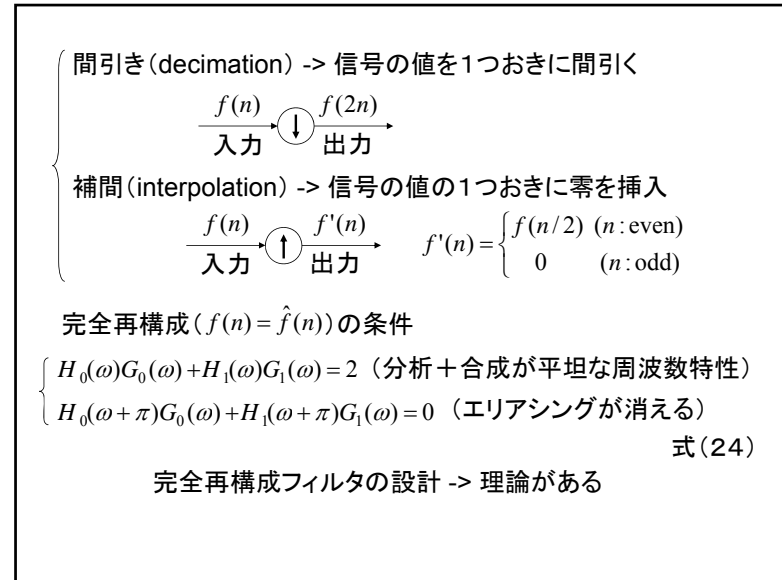
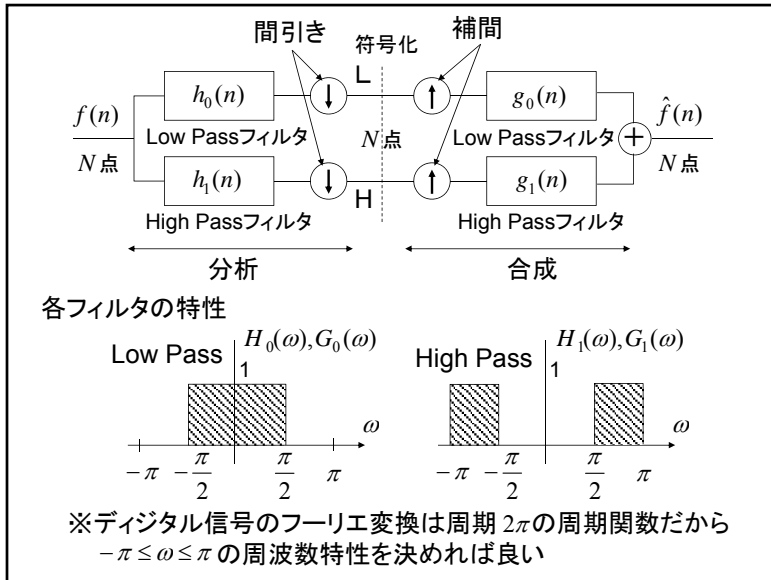
キーポイント

1. 信号の分解による冗長度削減
2. 各チャンネルの信号に異なる符号化法を適用

(1) 信号の分解と再構成

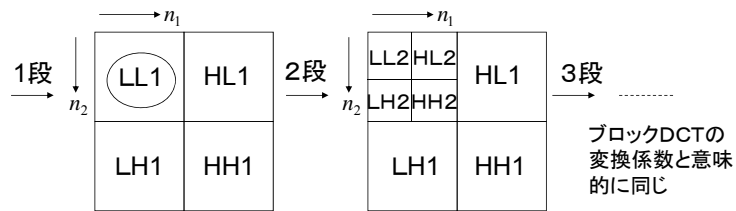
フィルタバンク

次ページ



(3) 最近のサブバンド符号化

4channelのフィルタバンクを縦続接続する



段数を増やす -> 相関の強いLL成分のサイズが小さくなる  
(より大きい冗長性の削減)

量子化の方法

1. 各チャンネルの統計的性質からビット配分を決め、全チャンネルをPCM(スカラー量子化)
2. シーン適応符号化の考え方を導入 -> JPEG2000

信号の分解がWavelet変換と関係 -> Wavelet符号化

実験例 -> 図19

特徴

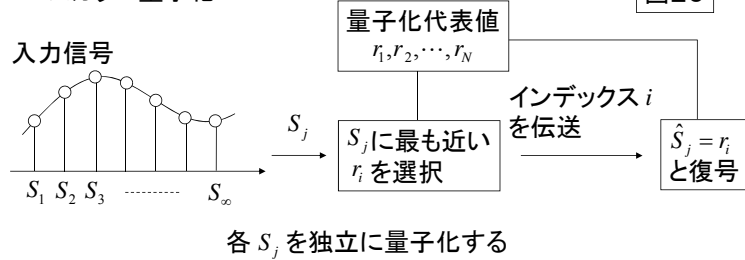
1. 変換符号化で生じるブロック歪みが出ない
2. 階層的伝送(Progressive transmission)に適している

4. 2 ベクトル量子化 (Vector Quantization)

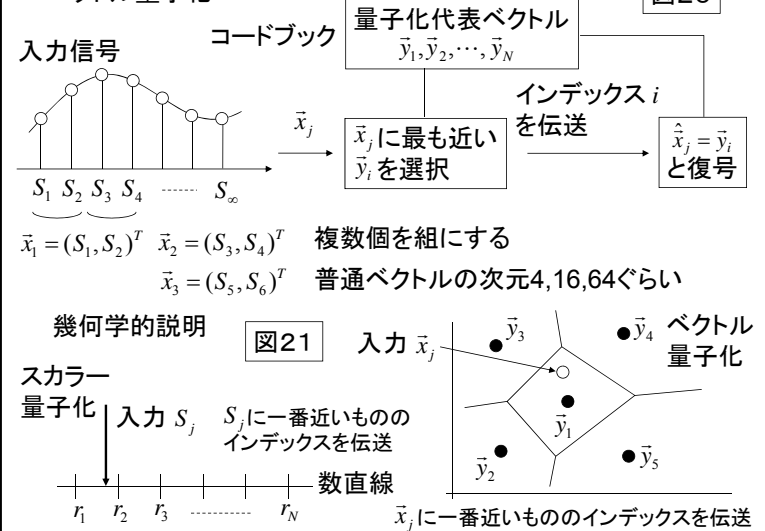
量子化すること自体がデータ圧縮になっている

(1) スカラー量子化とベクトル量子化

スカラー量子化



ベクトル量子化

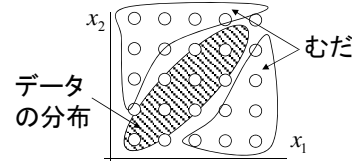


(2)ベクトル量子化が優れている理由

量子化レベルの選択に柔軟性がある

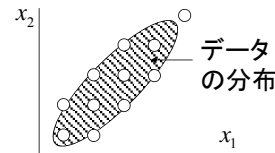
例 (a) 相関の強い信号の量子化

スカラー量子化



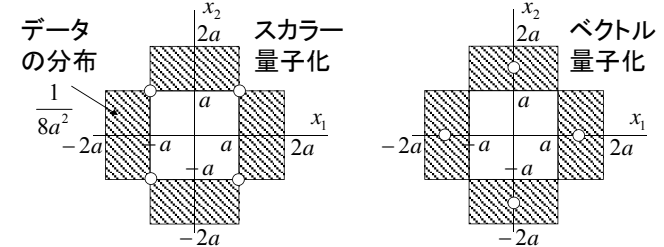
格子状にしか量子化レベルを設定できない

ベクトル量子化



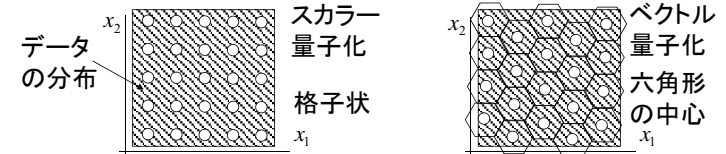
任意に量子化レベルを設定可能  
-> ビット数の削減

(b) データの分布が複雑な場合



同じビット数でもベクトル量子化の方が量子化歪が少ない

(c) 相関の弱い信号の量子化

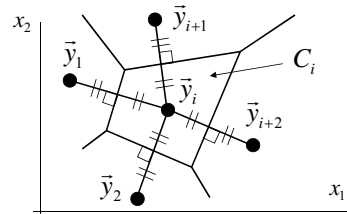


あまり効果がないがビット数が少し少なくて済む

(3)コードブックの設計

LBGアルゴリズム (Linde, Buzo, Gray, 1980) -> 反復法

K平均法, クラスタリング



$\bar{y}_i$  -> 量子化レベル

$C_i$  -> ボロノイセル ( $\bar{y}_i$  が量子化レベルとして選択される範囲)

量子化歪の期待値

$$\begin{cases} D = E[d(\bar{x}, \hat{x})], & d(\bar{x}, \hat{x}) = \|\bar{x} - \hat{x}\|^2 \\ \hat{x} = VQ(\bar{x}) & \text{距離} \end{cases} \quad \text{式(25)}$$

ベクトル量子化

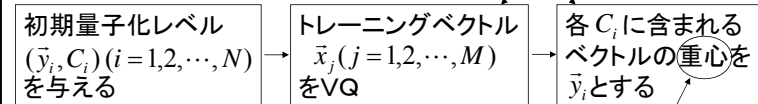
考え方

トレーニングベクトル  $\bar{x}_1, \bar{x}_2, \dots, \bar{x}_M$  を与え,  $D$  が最小になるような  $(\bar{y}_i, C_i) (i=1, 2, \dots, N)$  を決める

$$D \approx \frac{1}{M} \sum_{j=1}^M d(\bar{x}_j, \hat{x}_j) \quad \text{式(26)}$$

手順

最適な量子化器は2つの演算の不動点



反復により  $D$  は減少する

最適な量子化器が得られる保証はない  
-> 局所解のため

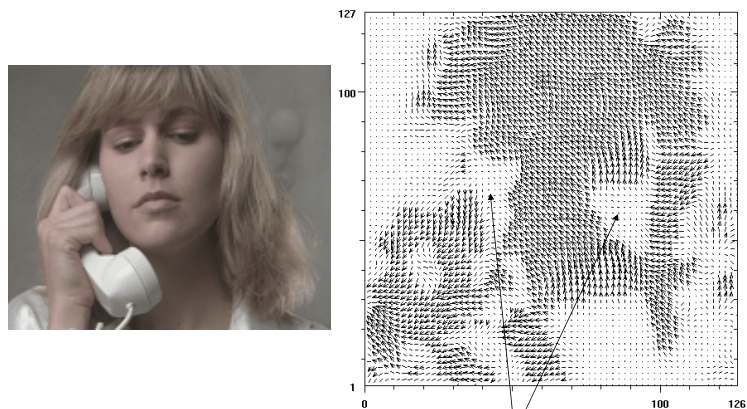
収束判定

図22

$$\text{平均 } \bar{y}_i = \frac{1}{N_i} \sum_{\bar{x}_j \in C_i} \bar{x}_j$$



※オプティカルフローの例



色が均一な部分は正確に求めるのが困難